

北海道大学工学部 正。清水 達雄 (株)東京エンジニアリング 中野 壮一郎
北海道大学工学部 正 那須 義和 (株)前沢工業 須尾 比良久

1. はじめに 窒素除去法の一つとして、生物学的処理法である汚泥循環式硝化・脱窒素法が確立されつつある。一方活性汚泥を好気状態と嫌気状態(溶解酸素や硝酸基の存在しない状態)に交互に保持すると、燐を過剰摂取するという特性が明らかにされている。そこで本研究では汚泥の硝化・脱窒素特性と燐過剰摂取特性を発揮できる好気過程と嫌気過程を適切に組み合せたJ.L. Barnardによって提案された改良型活性汚泥プロセスについて、有機物・窒素・燐を同時に除去するための処理条件を確立することを目的としている。すなはち有機物の取り込みと燐の放出を促進させる嫌気槽、好気槽から流入する硝酸窒素を窒素が入る脱窒素槽および硝化作用と燐過剰摂取を行わせしめる好気槽を組み合せた処理システムを用いて、廃水中に含まれる有機炭素源を脱窒素反応および燐過剰摂取反応に有効に利用して、窒素および燐化合物を効率よく除去できる条件を明らかにすることである。本実験では特に窒素、燐除去率に及ぼす廃水中の有機物・窒素・燐含有比の影響に関して検討を行ふ。2~3の知見を得たので報告する。

2. 実験装置および方法 本実験に用いた改良型活性汚泥プロセスは嫌気槽(3L)、脱窒素槽(5L)、好気槽(5L)および好気槽に付設した沈殿槽(3L)から構成されている。廃水は嫌気槽へ連続的に供給され、さうしてover flowによって好気槽へ流入させた後、沈殿槽で固液分離を行い、汚泥の一部を嫌気槽へ返送した。また硝化・脱窒素反応を行わせるために混合液を好気槽と脱窒素槽との間で循環させた。用いた廃水はグルコース、ペプトンおよび無機塩類を含有する合成廃水である。廃水中の有機物・窒素・燐含有比はグルコース濃度を変えることによって変化させた。連続処理実験は25°C、pH 7.0に制御して行つた。

3. 実験結果および考察

(1) 窒素および燐除去特性 前述した処理プロセスを用いて、合成廃水の連続処理を行つた結果の一例を表1に示す。溶解燐の各槽内での分布に関しては、供給廃水中の燐濃度が11 ppm~12 ppmであるのに對して、嫌気槽では約50 ppm、好気槽では1 ppm以下である。一方比較するために運転した標準活性汚泥プロセスの曝気槽内燐濃度が約10 ppmであることから、本処理プロセスにおいて、燐放出過程を経た汚泥は好気条件下で燐を過剰に摂取(汚泥の燐含有率:約5%)する能力を有し、燐除去率が高められることが明らかになつた。また各槽内の汚泥の呼吸活性とCOD_{Cr}濃度の分布特性から、嫌気槽での燐の放出現象が有機物の汚泥への取り込みと共役していることおよび取り込まれた有機物が好気槽内で酸化分解これに伴つて燐の過剰摂取が起ることが示唆された。次にアンモニア、硝酸態窒素および全窒素の各槽内濃度分布特性の結果から、本処理プロセスでは硝化・脱窒素反応が起つており、標準活性汚泥法に比べて低濃度ほど窒素の除去が可能であることが明らかになつた。また有機物除去率については標準活性汚泥法と同程度であった。次に上述した汚泥の燐過剰摂取および脱窒素現象に関して回分実験系を用いて更に検討を行つた。連続処理系の嫌気槽から採取した汚泥を用いて好気条件下で燐の採取に関して実験を行つた結果、燐採取は一次反応に従つておりかつ、野戻有機物含有率の高い汚泥(供給廃水中の有機物濃度の高い連続処理系から採取した汚泥)ほどその採取速度が大で

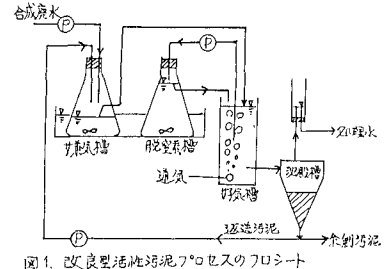


図1. 改良型活性汚泥プロセスのフローシート

表1 連続処理系における定常値の一例

	供給廃水	嫌気槽	脱窒素槽	好気槽	標準活性汚泥
COD _{Cr} (mg/l)	600	48	45	40	40
PO ₄ ³⁻ -P (mg/l)	11.5	48.3	4.0	0.7	9.6
NH ₄ ⁺ -N (mg/l)	25	13.3	2.3	1.9	0.2
NO ₃ -N (mg/l)	0	0	0.2	0.4	12.5
TN (mg/l)	30	15.0	2.1	1.6	14.8
汚泥中硝酸態窒素(%)	—	3.6	4.9	5.1	2.1
汚泥中燐含有率(%)	—	45	15	12	12
MLSS (mg/l)	—		30.00		

あることが明らかになった。(図2) 嫌気条件下での脱窒素反応を明らかにするために、 $\text{NH}_4^+ - \text{N}$ および $\text{NO}_3^- - \text{N}$ 濃度の経時変化を検討した。(図3) この結果から汚泥内貯蔵有機物を用いて、脱窒素反応が起っているが、外部に有機物が存在すると促進されることが明らかになった。また嫌気条件下では汚泥から $\text{NH}_4^+ - \text{N}$ の放出が起っており、本プロセスによる最適窒素除去条件を考える場合、この放出現象を考慮する必要があることが示唆された。

(2) 有機物、窒素、磷含有比の影響 廉価処理系に於ける磷、窒素の除去率にあわせてこれらの物質の含有比の影響を明らかにするために、供給廃水中の有機物濃度を変化させて実験を行った。

廃水中の磷に対する有機物濃度の比が増加するにつれて、処理水中の磷濃度は減少し、 $\text{COD}_{\text{Cr}}/\text{P} = 50$ 以上では一定となり $0.5 \sim 0.7 \text{ mg/l}$ であった。(図4) また標準活性汚泥法に比して、極めて低濃度まで処理が可能であり、本プロセスを採用すると廃水中の有機物を磷過剰採取反応に効果的に利用できることが判明した。また好気槽での汚泥の磷採取速度は嫌気槽での磷放出速度と比例関係にあり、(図5) かつ有機物負荷率に依存するところが明らかになった。磷除去効率を増加させるために、嫌気槽での磷の放出速度を大きくする条件を見出すことが重要であると考えられる。図6は本活性汚泥プロセスによって生成される汚泥の磷含有率を標準活性汚泥法にて生成される汚泥の磷含有率と比較して示したものである。この結果から本プロセスによって生成される汚泥の磷含有率(好気槽での汚泥; 約5%, 嫌気槽での汚泥; 約3.8%)は標準活性汚泥法によって生成された汚泥の磷含有率(約2%)よりもかなり高いことが明らかになった。また $\text{COD}_{\text{Cr}}/\text{P}$ 比が50以上で汚泥の磷含有率が低下しているのは磷が制限因子となるためである。

図4は供給廃水中に含まれる窒素に対する有機物濃度比の窒素除去に及ぼす影響を検討した結果である。 $\text{COD}_{\text{Cr}}/\text{TN}$ 比(TN ; 全窒素)に無関係に処理水中の $\text{NH}_4^+ - \text{N}$ 濃度は 1 mg/l 以下であることがから、硝化反応は十分行われていることが示唆された。一方 $\text{NO}_3^- - \text{N}$ 濃度は $\text{COD}_{\text{Cr}}/\text{TN}$ 比が増加するにつれて減少し、20以上では $\text{NO}_3^- - \text{N}$ は検出されなかった。この結果は供給廃水中の有機物濃度が増加するにつれて、脱窒素反応による窒素除去量が増加したことを見ている。また標準活性汚泥法と比較すると、処理水中の TN 濃度は低いことから、本プロセスを用いると廃水中の有機物を脱窒素反応に効果的に利用できることが明らかになった。

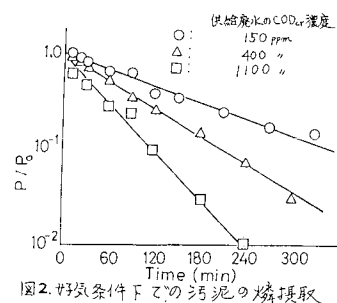


図2. 嫌気条件下での汚泥の磷採取

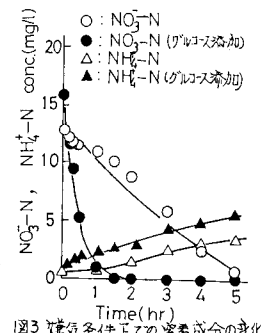


図3. 嫌気条件下での窒素成分の変化

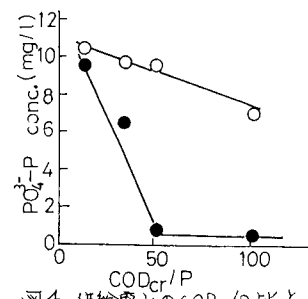


図4. 供給廃水の $\text{COD}_{\text{Cr}}/\text{P}$ 比と処理水の磷濃度との関係

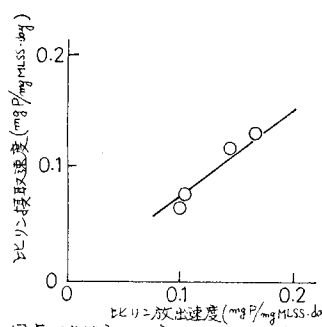


図5. 比磷放出速度と比磷採取速度との関係

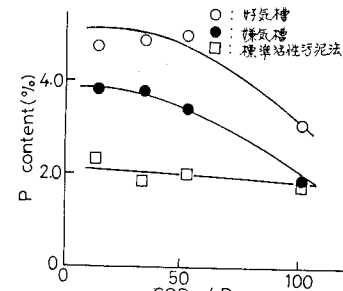


図6. 供給廃水の $\text{COD}_{\text{Cr}}/\text{P}$ 比と汚泥の磷含有率との関係

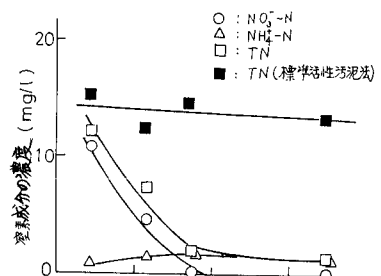


図7. 供給廃水の $\text{COD}_{\text{Cr}}/\text{TN}$ 比と処理水の窒素除去率との関係